

## تهیه و ارزیابی میکروپارتیکل های روده ای ناپروکسین به روش کریستالیزاسیون کروی

مریم مقصودی<sup>\*</sup>، محمد رضا سیاهی، هادی ولیزاده، فرناز فخیمی رضایی

دانشکده داروسازی دانشگاه علوم پزشکی تبریز، مرکز تحقیقات کاربردی داروئی دانشگاه علوم پزشکی تبریز

تاریخ دریافت: ۸۷/۱/۲۲، تاریخ پذیرش: ۸۷/۱/۹

## Preparation and evaluation of enteric release naproxen microparticles by spherical crystallization technique

Maghsoudi M.\* , Siah M., Valizadeh H., Fakhimi rezaie F.

Faculty of Pharmacy, Tabriz University of Medical Science, Drug Applied Research Center Tabriz University of Medical Science

Received: 2008/1/29, Accepted: 2008/5/11

**Objective:** The objective of this study was to prepare and evaluate naproxen-loaded enteric microparticles produced by spherical crystallization method. **Methods:** The method relies on the precipitation of the enteric polymer hydroxypropyl methyl cellulose phthalate (HPMCP), when its solution in an aqueous alkaline media are dropped into an acidic environment. Various manufacturing parameters, including polymer/naproxen ratio, the initial difference in temperature between solvent and non solvent ( $\Delta T$ ) and concentration of acid in non solvent were altered during the microparticle production. The effects of these changes on the micromeritic characteristics of microparticles and encapsulation efficiency were examined. The microparticles were also characterized by scanning electron microscopy (SEM), differential scanning calorimetry (DSC) and x-ray diffractometry analyses. Dissolution studies were finally carried out to verify if the microparticles possessed gastroresistant characteristics. **Results:** The growth of particle size and the spherical form of the agglomerates resulted in formation of products with good flow properties. Drug release studies showed that naproxen release from microparticles exhibited pH dependent profiles. Greater encapsulation efficiency was obtained by reduction the polymer/naproxen ratio and by increasing  $\Delta T$  and concentration of acid in non solvent. **Conclusion:** The spherical crystallization technique used is simple and minimize the use of organic solvents, and can be useful tools in preparing naproxen enteric microparticles.

**Key words:** Spherical crystallization, naproxen, HPMCP, Enteric microparticles.

**زمینه و هدف:** هدف از این مطالعه، تهیه و ارزیابی میکروپارتیکل های روده ای ناپروکسین به روش کریستالیزاسیون کروی است. **روش ها:** اساس این روش بر پایه رسوب هیدروکسی پروپیل متیل سلولز فتالات (HPMCP) باافرودن قطره محلول بازی آن به محیط اسیدی می باشد. پارامترهای مختلف شامل نسبت پلیمر به دارو، اختلاف دمای اولیه بین حلال و ناحلال ( $\Delta T$ ) و غلظت اسید در محیط ناحلال در طی تهیه میکروپارتیکل ها تغییر داده شد و تاثیر این متغیرهای خصوصیات میکروپارتیکل میکرومتریک میکروپارتیکل هاو بازده انکپسولاسیون مورد بررسی قرار گرفت. میکروپارتیکل ها همچنین با استفاده از SEM و دیفراکتومتری x-ray مورد ارزیابی قرار گرفتند و در نهایت مطالعات انحلال جهت تعیین مقاومت میکروپارتیکل ها نسبت به اسید معده انجام گرفت. **یافته ها:** تصاویر SEM نشان دادند که میکروپارتیکل ها کاملاً کروی و یکسان بودند که در نتیجه قابلیت ریزش انها نیز بهبود قابل توجهی را نشان داد. نتایج مطالعات انحلال نشان داد که رهش ناپروکسین از میکروپارتیکل ها وابسته به pH بود. افزایش بازده انکپسولاسیون با کاهش نسبت پلیمر به دارو و با افزایش ( $\Delta T$ ) و غلظت اسید در محیط ناحلال بدست آمد. **نتیجه گیری:** روش کریستالیزاسیون کروی بکار رفته ساده بوده و مصرف حلال های آلی در آن به حداقل رسیده است و روش مناسبی برای تهیه میکروپارتیکل های روده ای ناپروکسین میباشد.

**واژه های کلیدی:** کریستالیزاسیون کروی، ناپروکسین، هیدروکسی پروپیل متیل سلولز، میکروپارتیکل های روده ای.

\*Corresponding author: Dr Maryam Maghsoudi, Assistant Professor, Faculty of pharmacy, Tabriz University of Medical Sciences, Tel: 3392593, Fax: 0411- 3344798, Email : maghsoodim@tbzmed.ac.ir

نویسنده مسئول: دکتر مریم مقصودی، استادیار دانشکده داروسازی،  
دانشگاه علوم پزشکی تبریز، تلفن: ۳۳۹۲۵۹۳، نمبر: ۳۳۴۴۷۹۸

## ۱- مقدمه

نایپروکسن (Shasun Chemicals & Drugs, India) – هیدرولوکسی پروپیل متیل سلولز فتالات- (Sigma-Aldrich, USA)

(Merck, Germany) – بی کربنات سدیم- (Merck, Germany) – هیدرولوکسی پروپیل سلولز – (Nisso, Japan) – استون- (Merck, Germany) – استارات منیریم- (BDH-England)

### ۲- تجهیزات

پمپ پریستالیک (JMS-SP-500-Japan) – پمپ خلا (Edwards, England) – دستگاه شماره انحلال USP (Shimadzu UV-160, Japan) – دستگاه اندازه گیری دانسیته (طراحی شده در آزمایشگاه) – دستگاه آنالیز حرارتی DSC (Shimadzu DSC60, Japan) – دیفراکتومتر اشعه ایکس XPD (Siemens, Germany) – میکروسکوپ الکترونی SEM (Leo440i, England) – دستگاه قرص زنی تک سنبه ای دستی (Riken, Japan) – دستگاه اندازه گیری سختی قرص (Erweka, Germany)

### ۳- روش کار

#### ۱- تهیه میکروپارتیکل ها

اساس تهیه میکروپارتیکل ها بر پایه تغییر محلولیت HPMCP و نایپروکسن بود. محلول HPMCP در بی کربنات سدیم (۲۵ میلی لیتر) و نایپروکسن (۱۰۰۰ میلی گرم) در استون (۴ میلی لیتر) در ۵۰ درجه سانتی گراد از طریق پمپ پریستالیک با سرعت ۴ میلی لیتر در دقیقه در ظرف حاوی ۵۰ میلی لیتر محلول اسید سیتریک (حاوی ۲۵٪ هیدرولوکسی پروپیل سلولز) تزریق شد در حالیکه محلول اسید سیتریک توسط هم زن با سرعت ۲۰۰ دور در دقیقه مرتب هم زده می شد. عمل هم زدن تا مدت زمان ۱۲۰ دقیقه ادامه پیدا کرد. در نهایت، ذرات حاصل توسط پمپ خلاء صاف گردید و بر روی کاغذ صافی در دمای اتاق به مدت ۲۴ ساعت قرار داده شد تا کاملا خشک شود.

متغیرهایی که در تهیه میکروپارتیکل ها در نظر گرفته شد عبارت بودند از اختلاف دمای اولیه حلال و ناحلال ( $\Delta T$ ) که با تغییر دادن دمای ناحلال، ۲۵،۰ ۲۵ درجه سانتی گراد) ایجاد می شد، نسبت پلیمر به دارو و غلظت اسید در محیط ناحلال که در جدول شماره (۱) به آنها اشاره شده است.

۲- تعیین کارائی انکپسولاسیون میکروپارتیکلها جهت تعیین کارائی انکپسولاسیون ۲۰۰ میلی گرم از هر نمونه توزین و در ۱۰۰ میلی لیتر بافر فسفات (pH=۷/۴) حل

نایپروکسن یکی از داروهای ضد التهاب غیر استروئیدی است که در درمان آرتیت روماتوئید، استئوآرتیت و به عنوان ضد تب و ضد درد استفاده می شود. اما محدودیت مصرف آن به علت عوارض گوارشی می باشد. یکی از راههای کاهش عوارض جانبی در دستگاه گوارش استفاده از فرم روده ای دارو می باشد. از مزایای دیگر فرم های روده ای میتوان به رهش دارو در محل جذب اشاره کرد.

از طرفی تهیه فرم های چند واحدی روده ای نسبت به فرم های تک واحدی ارجحیت دارد چرا که یکی از مشکلات فرم های تک واحدی متغیر بودن زمان باقی ماندن فرم دارویی در معده و بالطبع، متغیر بودن فراهم زیستی دارو است. از سوی دیگر در فرم های روده ای چند واحدی به علت کوچک بودن سایز ذرات وابستگی شروع اثر دارو به تخلیه ی معده منتفي شده و عملکرد دارو از تکرار پذیری کافی برخوردار خواهد بود (۱).

کریستالیزاسیون کروی یک تکنیک کارآمد طراحی ذرات می باشد که در آن مراحل مختلف کریستالیزاسیون، جداسازی و آگلومراسیون هم زمان در یک مرحله صورت می گیرد و بدین ترتیب با کاهش مراحل تهیه، سدر زمان و هزینه صرفه جویی بسیاری می شود (۲).

از این تکنیک بیشتر جهت بهبود خصوصیات کمپرس پذیری و ریزش پودر به منظور قرص سازی به روش کمپرسیون مستقیم استفاده می شود (۴،۳) ولی اخیراً با وارد کردن پلیمره سیستم این تکنیک جهت تهیه ی فرم های دارویی چون میکروسفرها (۵)، میکروپسولها (۶)، میکروبالن (۷) و نانوسفرهای قابل تجزیه در بدن (۸) نیز مورد استفاده قرار گرفته است. در این سیستم ها ذرات دارو و پلیمر هم زمان کریستالیزه شده و به شکل مجتمع های کروی آگلومره می شوند (۹).

به تازگی مطالعاتی در زمینه امکان استفاده از این تکنیک جهت تهیه آگلومرهای حاوی دارو و اکسپیانهای مختلف نیز انجام گرفته است که نتایج بدست آمده امیدوار کننده بوده و باعث گشودن مسیر جدیدی در زمینه کاهش مراحل گرانولاسیون شده است (۱۱،۱۰).

در کار تحقیقی حاضر هدف تهیه ی میکروپارتیکل های روده ای نایپروکسن با استفاده از پلیمر هیدرولوکسی پروپیل متیل سلولز فتالات (HPMCP) به روش کریستالیزاسیون کروی و سپس ارزیابی میکروپارتیکل های حاصل می باشد.

## ۲- مواد و روش ها

### ۲-۱- مواد

گراد با سرعت ۱۰ درجه سانتی گراد بر دقیقه حرارت داده شدند و رفتار حرارتی آنها مورد بررسی قرار گرفت.

### ۲-۳-۷- تفرق اشعه ایکس (XRD)

حفره فلزی نگهدارنده پودر بانمونه که قبلابوسیله هاون نرم شده بود پر شد سپس بر روی پلیتی از جنس کوارتز جهت تابش اشعه ایکس (Cu Ka) با طول موج  $10.6 \text{ Å}$  آنگستروم قرار داده شد. دمای محیط ۲۵ درجه سانتی گراد و سرعت اسکن برابر با  $0.06^\circ/\text{min}$  درجه بر دقیقه، در محدوده  $5\text{--}70^\circ$  بود.

### ۲-۳-۸- تست اتحال

۲۰۰ میلی گرم از میکروپارتیکل ها در  $900^\circ\text{C}$  میلی لیتر بافر اسیدی ( $\text{pH}=1/2$ ) و بافر فسفات ( $\text{pH}=7/4$ ) در دمای  $37\pm 0.5^\circ\text{C}$  درجه سانتی گراد با استفاده از دستگاه شماره ۱ (بسکت) USP و سرعت به هم زدن  $100\text{ rpm}$  به مدت به ترتیب  $120$  و  $300$  دقیقه مورد آزمایش قرار گرفت و از هر یک در زمانهای متوالی به وسیله سرنگ نمونه های  $5\text{ ml}$  لیتری برداشته شد.

به منظور جایگزینی حجم برداشته شده به همان مقدار بافر مربوطه هم دما جانشین گردید. به منظور برقراری تعادل دمایی با محیط آزمایشگاه، نمونه ها مدت زمان مشخصی به حالت سکون در آزمایشگاه قرار گرفتند و سپس با اندازه گیری جذب نمونه ها در طول موج  $330\text{ nm}$  نانومتر برای محیط بافر اسیدی و  $329/4^\circ\text{C}$  نانومتر برای محیط بافر بازی توسط دستگاه اسپکتروفوتومتر UV و با استفاده از منحنی کالیبراسیون دارو در محیط مربوطه غلظت دارو تعیین گردید.

### ۲-۳-۹- آنالیز آماری

مقایسه آماری نتایج بدست آمده از نمونه ها به کمک نرم افزار spss (نسخه ۱۳) و با آنالیز واریانس ANOVA یک سویه با ( $\alpha=0.05$ ) انجام گرفت. برای مقایسه پروفایل اتحال ناپروکسن از نمونه های مختلف طبق معادله ۳ از فاکتور تشابه استفاده شد (۱۲).

معادله ۳

$$f_2 = 50 \log \left\{ [1 + (1/n) \sum_{i=1}^n (R_i - T_i)^2]^{-0.5} \right\} \times 100$$

که در این رابطه  $f_2$  : فاکتور تشابه،  $n$  : تعداد نمونه های اندازه گیری شده،  $R_i$  : درصد داروی آزاد شده از شکل دارویی رفرانس و  $T_i$  : درصد داروی آزاد شده از شکل دارویی مورد آزمایش است. لازم به ذکر است پروفایل های اتحال با فاکتور تشابه بین  $100-50$  مشابه تلقی می شود.

گردید. سپس بوسیله اسپکتروفوتومتر UV در طول موج  $329/4^\circ\text{C}$  نانومتر جذب محلول تعیین و با استفاده از منحنی کالیبراسیون ناپروکسن در محیط مذکور، غلظت ناپروکسن محاسبه شد. سپس کارائی انکپسولاسیون طبق معادله (۱) تعیین گردید.

معادله (۱)

$$\frac{100 \times \text{وزن واقعی دارو در نمونه}}{\text{وزن تئوریک دارو در نمونه}} = \frac{\text{کارائی انکپسولاسیون}}{\text{کارائی انکپسولاسیون}}$$

### ۲-۳-۳- محاسبه شاخص کار (Carr Index)

در یک استوانه مدرج مقدار مشخص از نمونه ریخته شدو حجم اولیه قرائت گردید. سپس جهت بدست آوردن حجم نهائی توسط دستگاه مخصوص ضربه زننده، استوانه مدرج و محتویاتش تا جایی که دیگر تغییر حجمی مشاهده نشود تحت ضربه قرار گرفتند. شاخص کار با استفاده از معادله (۲) بدست آمد.

$$\text{معادله (۲) شاخص کار} = \frac{(\text{حجم اولیه} - \text{حجم نهائی})}{\text{حجم اولیه}} \times 100$$

### ۲-۳-۴- تعیین اندازه ذره ای

برای تعیین اندازه ذره ای از روش میکروسکوپ استفاده شد. بدین ترتیب که قطر تصویری (قطر مارتین) حداقل  $60\text{ nm}$  ذره در هر نمونه به کمک نرم افزار Scion Imag اندازه گیری شد.

### ۲-۳-۵- تصویربرداری به کمک میکروسکوپ الکترونی (SEM)

شكل و خصوصیات سطحی نمونه ها توسط میکروسکوپ الکترونی بررسی شد. نمونه ها با استفاده از چسب دو طرفه روی یک پایه فلزی (slab) قرار گرفته، سپس پایه ها در اتفاق کوتینگ قرار داده شدند. اتفاق از هوا تخلیه شد و با آرگون مجدداً پر شد و نمونه ها با طلا روکش داده شدند. سپس نمونه های روکش داده شده در میکروسکوپ الکترونی و اتفاق خلاء آن قرار داده شدند. پس از ایجاد خلاء به میزان  $10^{-4} \text{ torr}$  و ولتاژ  $12\text{ kV}$  کیلوولت برای شتاب دادن به الکترون ها به وسیله تفنگ الکترونی، از نمونه ها در بزرگنمایی های مختلف تصویربرداری شد.

### ۲-۳-۶- آنالیز حرارتی (DSC)

به منظور بررسی خصوصیات حرارتی نمونه ها  $5\text{ ml}$  گرم از نمونه مورد آزمایش پس از توزین دقیق داخل pan آلمینیومی دستگاه DSC قرار گرفته و پرچ گردید. مربوط به شاهد حاوی  $10\text{ ml}$  گرم آلمینیوم به همین ترتیب تهیه شد. نمونه ها از دمای محیط تا دمای  $200^\circ\text{C}$  درجه سانتی

### ۳- نتایج و بحث

#### ۱-۳: خصوصیات میکرومتریک

همچنین تسريع سفت شدن غشا پلیمری در اطراف ذرات در اثر افزایش  $\Delta T$  و درصد اسید در محیط ناحلال مانع از ریز شدن و شکستن ذرات در اثر نیروی هم زدن می شود که در نتیجه میکروپارتیکل های درشت به وجود می آید (۱۴). نتایج مربوط به دانسیته ظاهری و فشردگی نمونه ها در جدول (۲) آورده شده است.

تحقیقات نشان داده است که ذرات کوچک تر، غیر کروی تر با تضاریس سطحی بیشتر و دانسیته ی ذره ای کمتر باعث تماس و اصطکاک بین ذره ای بیشتر شده و در نتیجه دانسیته ی ظاهری و فشردگی کوچک تری را ایجاد می کنند (۱۵).

نتایج نشان می دهد که افزایش  $\Delta T$  و درصد اسید در محیط ناحلال باعث افزایش دانسیته در میکروپارتیکل های حاصل شده است. علت این امر احتمالاً مربوط به تأثیر این متغیرها روی سفت شدن میکروپارتیکل ها است.

افزایش  $\Delta T$  و درصد اسید در محیط ناحلال باعث تسريع تشکیل غشا پلیمری در اطراف ذرات شده و متعاقباً از دیفوژیون متقابل حلال و ناحلال و در نتیجه تشکیل پروزیته در غشا میکروپارتیکل ها جلوگیری می کند. کاهش پروزیته در غشا پلیمری باعث افزایش دانسیته ی ذره ای و در نتیجه دانسیته ی ظاهری و فشردگی پودر حاصل خواهد شد (۱۶).

نتایج قابلیت ریزش نمونه ها که با پارامتر کار ایندکس مشخص شده است (جدول ۲) نشان می دهد که قابلیت ریزش میکروپارتیکل ها در مقایسه با ناپروکسن اولیه بهبود قابل ملاحظه ای یافته است. میکروپارتیکل ها با شکل کروی و اندازه ی ذره ای درشت تر نسبت به ذرات ناپروکسن اولیه با کریستالهای مسطح، دارای نقاط تماس بین ذره ای کمتری در بستر پودر خود میباشند که در نتیجه کار ایندکس کوچک تر را ایجاد می کنند (۱۶).

شکل (۱) تصاویر SEM نمونه ها را نشان می دهد. ناپروکسن اولیه دارای کریستال های plate شکل و نامنظم بوده و در تصویر با بزرگنمایی بیشتر مشاهده می شود که سطح این کریستال ها قادر پروزیته ی مشخص می باشد. از سوی دیگر میکروپارتیکل ها تقریباً کروی و دارای سطح پروزیته دار میباشند.

جدول (۲) میانگین و توزیع اندازه ی ذره ای ناپروکسن اولیه و میکروپارتیکل ها را نشان می دهد. همان طوری که در این جدول و تصاویر SEM دیده می شود اندازه ی ذره ای ناپروکسن اولیه نسبت به میکروپارتیکل ها بسیار کوچک تر می باشد. اکثر ذرات میکروپارتیکل ها در محدوده ۱۷۰۰-۱۰۰۰ میکرون می باشند در حالی که کریستال های ناپروکسن اولیه بیشتر در محدوده ۲-۱۰ میکرون واقع شده اند. اندازه ی نهایی میکروپارتیکل ها متأثر از عملکرد پیچیده ی متغیرهای مختلف از جمله سرعت تزریق حلال روی ناحلال، اندازه ی سر سوزن تزریق، شرایط خشک کردن، دما و غلظت مواد موجود در محیط کریستالیزاسیون می باشد (۱۳). که با ثابت نگهداشتن این شرایط سعی شد تا تأثیر متغیرهای ناخواسته روی اندازه میکروپارتیکل ها حذف شود.

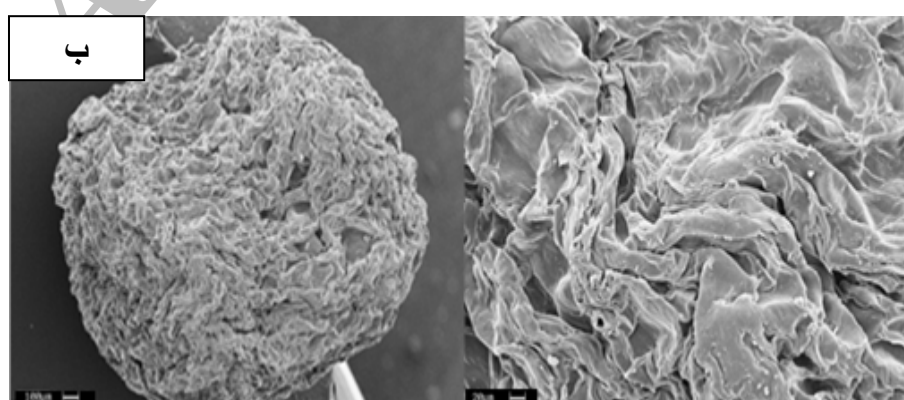
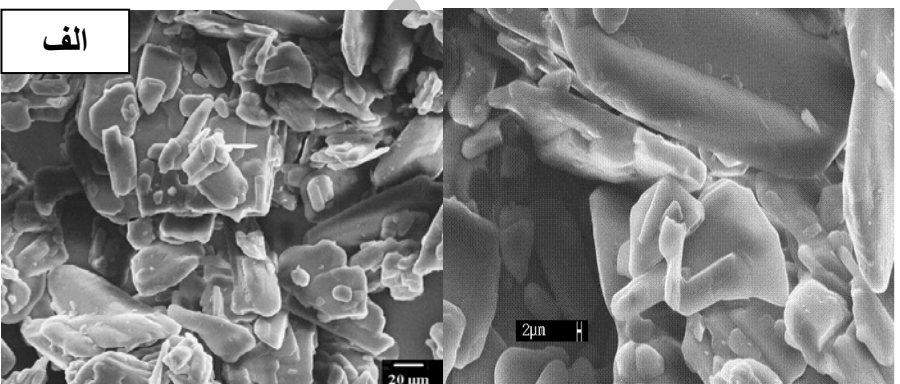
طبق نتایج با افزایش نسبت پلیمر به دارو،  $\Delta T$  و غلظت اسید در محیط ناحلال اندازه میکروپارتیکل ها افزایش پیدا میکند. بالافرازیش نسبت پلیمر به دارو ویسکوزیته ی محلول پلیمری افزایش پیدا میکند که در نتیجه موقع تزریق به فاز ناحلال قطرات و متعاقباً میکروپارتیکل های درشت تری را ایجاد خواهد کرد (۱۴).

جدول شماره ۱: مشخصات فرمولاسیون های مختلف

فرمولاسیون	نسبت پلیمر به دارو	دماهای اولیه	اختلاف دماهای اولیه حال و ناحلال ( $\Delta T$ ) (°C)	ناحلال (°C)	درصد اسید در محیط ناحلال (%)
A <sub>1</sub>	۲/۱	.	۵۰	۵۰	۱۰
B	۳/۱	.	۵۰	۵۰	۱۰
C	۴/۱	.	۵۰	۵۰	۱۰
D	۶/۱	.	۵۰	۵۰	۱۰
A <sub>2</sub>	۲/۱	۲۵	۲۵	۲۵	۱۰
A <sub>3</sub>	۲/۱	۳۵	۳۵	۱۵	۱۰
A <sub>4</sub>	۲/۱	.	۵۰	۵۰	۰/۱۲۵
A <sub>5</sub>	۲/۱	.	۵۰	۵۰	۱۴

جدول شماره ۲: نتایج مربوط به کارائی انکپسولاسیون، دانسیته، شاخص کار و اندازه ذره ای نمونه ها

فرمولاسیون	کارائی انکپسولاسیون	دانسیته ظاهری (g/cm <sup>3</sup> )	دانسیته فشردگی (g/cm <sup>3</sup> )	شاخص کار (%)	$dg \pm \sigma g(\mu\text{m})$
A1	۷۲/۰±۱/۲	۰/۳۹۴±۰/۰۰۲	۰/۴۹۸±۰/۰۰۵	۲۰/۸۳±۰/۰۳	۱۶۵۹±۴۴۳
B	۵۷/۰±۱/۲	۰/۷۶۹±۰/۰۰۱	۰/۷۴۳±۰/۰۰۳	۱۰/۰۰±۰/۰۵	۱۷۵۷±۴۶۴
C	۴۳/۶±۱/۳	۰/۷۲۵±۰/۰۰۳	۰/۷۱۲±۰/۰۰۲	۱۲/۲۴±۰/۰۶	۱۷۲۷±۴۵۲
D	۳۲/۸±۱/۲	۰/۳۹۴±۰/۰۰۲	۰/۴۹۸±۰/۰۰۲	۲۰/۸۳±۰/۰۷	۲۷۶۱±۴۵۳
A2	۶۲/۱±۱/۴	۰/۳۰۶±۰/۰۰۱	۰/۳۸۴±۰/۰۰۳	۲۰/۴۵±۰/۰۵	۹۶۷±۵۲۵
A3	۶۹/۷±۱/۳	۰/۱۳۱±۰/۰۰۱	۰/۱۷۴±۰/۰۰۲	۲۴/۳۹±۰/۰۱	۱۶۱۷±۴۳۲
A4	----	۰/۱۴۰±۰/۰۰۲	۰/۲۷۹±۰/۰۰۲	۵۰/۰۰±۰/۰۸	۶۹۹±۱۲۷
A5	۷۷/۳±۱/۴	۰/۴۶۴±۰/۰۰۲	۰/۵۶۲±۰/۰۰۲	۱۷/۳۹±۰/۰۶	۱۷۳۷±۴۵۸
نایپروکسن تریپتید	-	۰/۳۴۴±۰/۰۰۳	۰/۷۱۴±۰/۰۰۲	۲۸/۲۰±۰/۰۵	۲۰۰±۴۸
نایپروکسن اولیه	-	۰/۱۶۱±۰/۰۰۲	۰/۲۲۴±۰/۰۰۳	۵۱/۷۲±۰/۰۹	۱۰±۵



شکل ۱: تصاویر میکروسکوب الکترونی (الف) نایپروکسن اولیه، (ب) میکروپارتیکل A1

### ۳-۲: کارائی انکپسولاسیون

نتایج مربوط به کارائی انکپسولاسیون نمونه ها در جدول (۲) آورده شده است. همان طوری که در این جدول مشاهده می شود، با کاهش نسبت پلیمر به دارو افزایش قابل توجهی در کارائی انکپسولاسیون دیده می شود. برای مثال وقتی نسبت پلیمر به دارو از  $6/1$  به  $2/1$  کاهش می یابد کارائی انکپسولاسیون در میکروپارتیکل ها از حدود  $32\%$  به تقریباً  $72\%$  می رسد. به عبارتی ترتیب کارائی انکپسولاسیون در میکروپارتیکل ها با نسبت های مختلف پلیمر به دارو به ترتیب ذیل  $6/1 > 4/1 > 3/1 > 4/1 > 2/1$  می باشد. علت این امر ظاهراً ناشی از سفت شدن سریع قطرات فاز پراکنده ( محلول پلیمر و دارو) در حضور نسبت کم پلیمر می باشد (۱۷ و ۱۸).

افزایش در نسبت پلیمر منجر به افزایش ویسکوزیته به یک حد بحرانی می شود که در بالاتر از آن انتقال از حالت لاستیکی به حالت شیشه ای در محلول پلیمر به تأخیر می افتد و میکروپارتیکل برای مدت طولانی تر نرم باقی می مانند. تأخیر در تبدیل از حالت ژل به شیشه ای باعث می شود که حلال بیشتری از قطرات فاز پراکنده به فاز ناحلال نفوذ پیدا کند و همراه خود داروی حل شده را به خارج (فاز ناحلال) حمل نماید.

در نتیجه زمان طولانی تر برای سفت شدن میکروپارتیکل ها منجر به عبور مقدار بیشتر دارو به فاز ناحلال و کاهش در کارائی انکپسولاسیون خواهد شد. در واقع می توان گفت کارائی انکپسولاسیون نتیجه رقابت بین فرار حلال حاوی دارو از قطرات فاز پراکنده و رسوب پلیمر در سطح این قطرات می باشد (۱۴).

همان طوری که نتایج نشان میدهد افزایش گرادیانت دما بین فاز حلال و ناحلال باعث افزایش در کارائی انکپسولاسیون میکروپارتیکل ها شده است. افزایش گرادیانت دما باعث افزایش سرعت سفت شدن میکروپارتیکل ها و در نتیجه تسريع در رسوب پلیمر و کریستالیزاسیون دارو می شود که متعاقباً نفوذ متقابل حلال و ناحلال و حمل داروی حل شده توسط حلال به فاز ناحلال کاهش می یابد (۱۹).

هم چنین نتایج نشان می دهد که افزایش درصد اسید در محیط ناحلال از  $10\%$  به  $14\%$  باعث افزایش کارائی انکپسولاسیون در میکروپارتیکل ها به علت افزایش سرعت رسوب پلیمر آنیونیک (HPMCP) و متعاقباً تسريع سفت شدن میکروپارتیکل ها می شود. از سوی دیگر کارائی انکپسولاسیون بالاتر از  $100\%$  در نمونه A<sub>4</sub> بیانگر این مطلب است که حضور  $125\%$  اسید در محیط ناحلال جهت رسوب کامل پلیمر کافی نبوده و در ذرات تشکیل شده

نسبت پلیمر به دارو خیلی کوچکتر از میزان تئوریک میباشد.

### ۳-۳: رهش دارو از میکروپارتیکل ها

شكل های (۲ تا ۴) پروفایل های رهش ناپروکسن از میکروپارتیکل ها در محیط های بافر اسیدی و بازی را نشان می دهد. در نمونه ی ناپروکسن اولیه نزدیک به  $22\%$  از دارو در عرض  $120$  دقیقه در محیط بافر اسیدی ( $pH = 1/2$ ) حل شده است در حالی که در بافر بازی ( $pH = 7/4$ ) انحلال  $100\%$  دارو در عرض  $60$  دقیقه کامل شده است. در نمونه ی ناپروکسن تریتید دارو رهش کندتری در هر دو محیط انحلال نسبت به نمونه ی ناپروکسن اولیه نشان می دهد که اندازه ی ذره ای بزرگتر و در نتیجه سطح مخصوص کوچک تر نمونه ی ناپروکسن تریتید در مقایسه با ناپروکسن اولیه می تواند توجیه کننده ی نتایج مذکور باشد (۲۰).

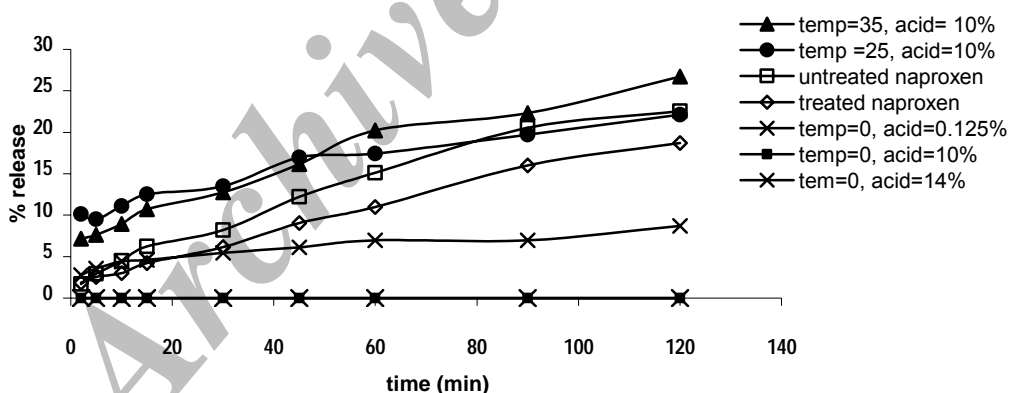
در میکروپارتیکلها به علت حضور پلیمر آنیونیک (HPMCP) انحلال محسوسی در بافر اسیدی ( $pH = 1/2$ ) مورد انتظار نمی باشد که نتایج به دست آمده نیز این مطلب را تأیید می کند و میکروپارتیکل ها به علت نامحلول بودن (HPMCP) در بافر اسیدی ( $pH = 1/2$ ) در این محیط اندکی متورم شده و در انتهای  $120$  دقیقه در تمام نسبت های پلیمر به دارو تقریباً دست نخورده باقی می مانند. در حالی که چون (HPMCP) در محیط بافر بازی محلول می باشد (۲۱) رهش سریع دارو به علت تخریب میکروپارتیکل ها در محیط مذکور اتفاق می افتد و تقریباً  $100\%$  دارو در عرض  $120$  دقیقه رهش پیدا کرده و میکروپارتیکل ها ناپدید می شوند.

طبق نتایج رهش دارو در محیط بافر بازی از تمام میکروپارتیکل ها صرف نظر از ترکیب و شرایط ساختشان به طور بارزی نسبت به ناپروکسن اولیه آهسته تر میباشد. نتایج نشان میدهد که (شکل ۳) با افزایش نسبت پلیمر به دارو سرعت رهش ناپروکسن از میکروپارتیکل ها در محیط بافر بازی کاهش پیدا میکند. البته لازم به ذکر است که تفاوت معنی داری بین پروفایل انحلال دارو در محیط مذکور وقتی نسبت پلیمر به دارو از  $3/1$  به  $6/1$  افزایش می یابد دیده نمی شود (۵۰).

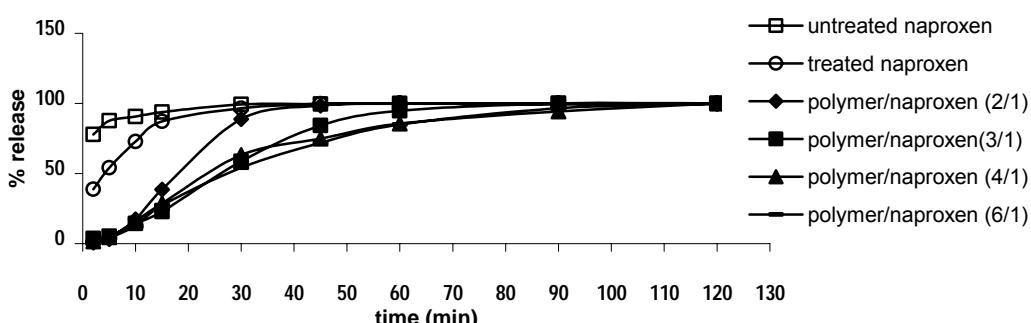
از سوی دیگر با توجه به اینکه رهش ناپروکسن از میکروپارتیکل های با نسبت های مختلف پلیمر به دارو در محیط بافر اسیدی تفاوت معنی داری نشان نمیدهد میتوان نتیجه گرفت که نسبت  $2/1$  پلیمر به دارو جهت تهیه میکروپارتیکل های روده ای ناپروکسن کافی میباشد.

طبق نتایج حضور ۱۲۵٪ اسیدسیتریک در محیط ناحلال برای محافظت از رهش دارو در محیط اسیدی در میکروپارتیکل ها کافی نمی باشد. همان طوری که در شکل (۲) دیده می شود در میکروپارتیکل های تهیه شده در حضور ۱۲۵٪ اسید سیتریک در محیط ناحلال رهش ناپروکسن در محیط بافر اسیدی ( $pH = 1/2$ ) افزایش قابل توجهی نشان می دهد. در حالی که در محیط مذکور رهش ناپروکسن از میکروپارتیکل های تهیه شده در حضور ۱۰٪ و ۱۴٪ اسید سیتریک در محیط ناحلال در طی ۱۲۰ دقیقه نامحسوس می باشد. افزایش سرعت انحلال دارو در محیط بافر اسیدی (شکل ۲) و بافر بازی (شکل ۴) از میکروپارتیکلهای تهیه شده در حضور ۱۲۵٪ اسید سیتریک در محیط ناحلال و نزدیک شدن آن به سرعت انحلال دارو از نمونه ناپروکسن اولیه ظاهراً به علت کافی نبودن غلظت اسیدسیتریک در محیط ناحلال جهت رسوب و سفت شدن پلیمر (HPMCP) در تشکیل میکروپارتیکل ها می باشد. هم چنان که نتایج کارائی انکسولاسیون (جدول ۲) نیز مطلب مذکور را تأیید می کند که در قسمت مربوطه مورد بحث قرار گرفته است.

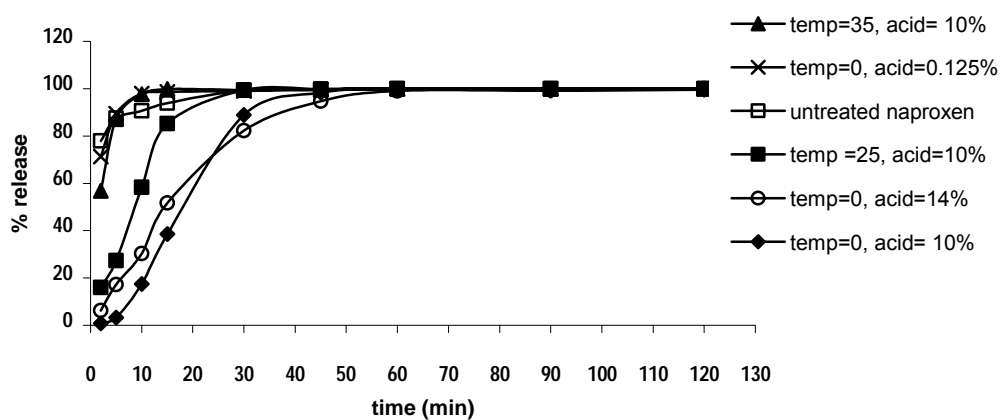
شکل (۴) پروفایل انحلال ناپروکسن از میکروپارتیکل های تهیه شده در دماهای مختلف ناحلال را نشان می دهد. همان طوری که از نتایج بر می آید دماهی محیط ناحلال نیز در رهش دارو از میکروپارتیکل ها تاثیر گذار است. افزایش گردایانست دما بین فاز حلal و ناحلال باعث کاهش سرعت رهش دارو از میکروپارتیکل ها در نسبت ثابت ۲/۱ پلیمر به دارو شده است. نتایج به دست آمده احتمالاً ناشی از تأثیر گردایانست دما روی مرحله‌ی سفت شدن میکروپارتیکلها می باشد. افزایش گردایانست دما بین فاز حلal و ناحلال باعث تسريع کریستالیزاسیون دارو و همچنین افزایش سرعت تشکیل سد پلیمری (HPMCP) می شود که خود این امر از نفوذ متقابل حلal و ناحلال در حین تشکیل میکروپارتیکل ها جلوگیری کرده و باعث کاهش تشکیل پروزیته در میکروپارتیکلها می شود. ماحصل کاهش پروزیته در میکروپارتیکلها، کاهش سرعت نفوذ محیط انحلال به داخل میکروپارتیکلها و بالطبع کاهش سرعت انحلال دارو از میکروپارتیکل های حاصل خواهد بود (۲۱). کاهش سرعت انحلال دارو از میکروپارتیکل های مذکور هم چنین می تواند به افزایش اندازه ذره ای (جدول ۲) و در نتیجه کاهش سطح مخصوص ذرات با افزایش گردایانست دما بین فاز حلal و ناحلال مربوط باشد (۲۰).



شکل ۲: نمودار رهش دارو در محیط بافر اسیدی از میکروپارتیکل های تهیه شده در شرایط مختلف محیط ناحلال (درصد اسید و دماهی مختلف).



شکل ۳: نمودار رهش دارو در محیط بافر بازی از میکروپارتیکل های تهیه شده با نسبت های مختلف پلیمر به دارو.



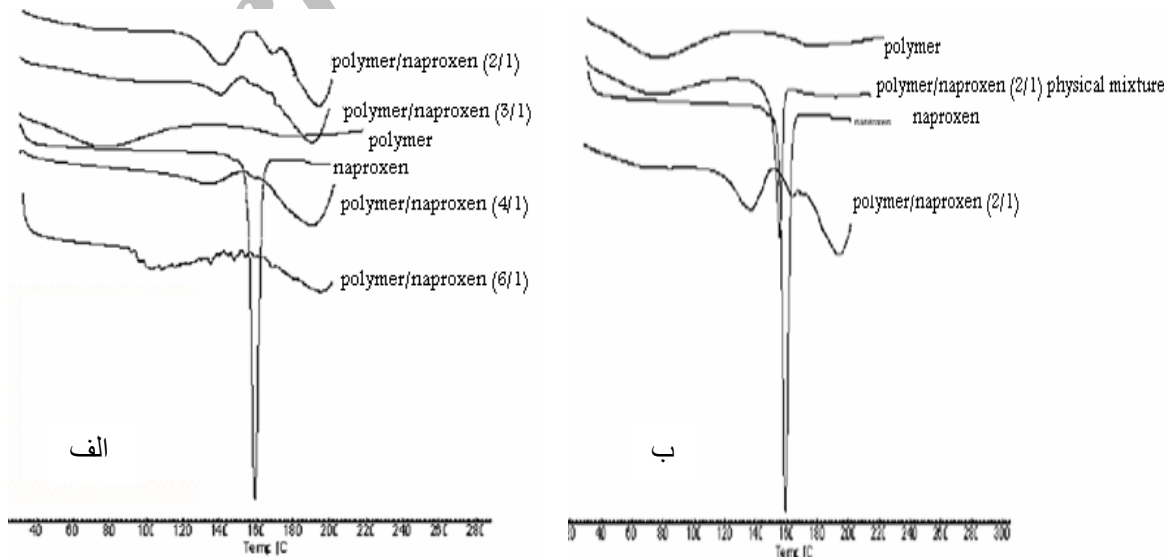
شکل ۴: نمودار رهش دارو در محیط بافر بازی از میکروپارتیکل های تهیه شده در شرایط مختلف محیط ناحلال (درصد اسید و دمای مختلف).

دهنده‌ی پخش مولکولی قسمتی از دارو در پلیمر می‌باشد به عبارتی پخشی از دارو در ماتریکس پلیمری حل شده است (۲۲). محو شدن پیک دارو در نسبت ۶/۱ پلیمر به دارو بیانگر این مطلب است که محلولیت ناپروکسن در HPMCP بیش از ۱۴٪ می‌باشد.

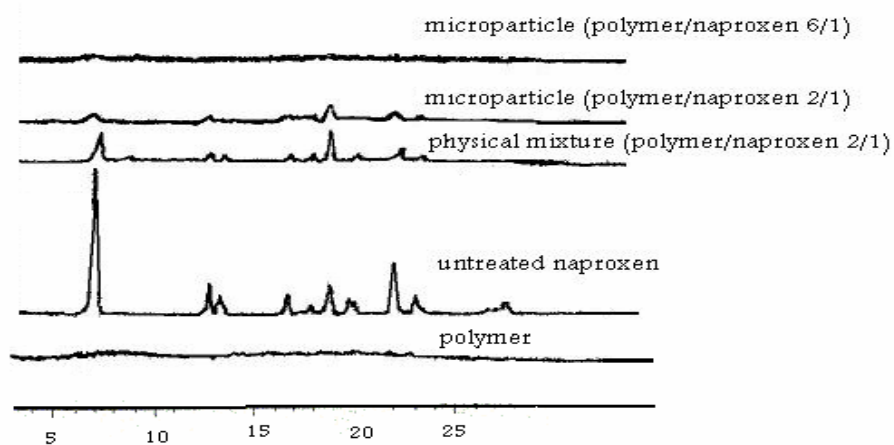
نتایج DSC توسط دیفراکتوگرام های x-ray (شکل ۶) نیز تأیید می‌شود. از آن جایی که پلیمر مصرفی آمورف می‌باشد حضور پیکهای دارو و در نتیجه حضور داروی گریستالی در میکروپارتیکل ها به راحتی قابل شناسایی می‌باشد (۱۹).

#### ۴-۳: آنالیز حرارتی (DSC) و تفرق اشعه‌ی ایکس (x-ray)

شکل (۵) طیف‌های DSC میکروپارتیکل‌های HPCMP/naproxen و داروی خالص رانشان می‌دهند. پیک ذوب ناپروکسن که در ترموگرام داروی خالص به راحتی قابل مشاهده است با افزایش نسبت پلیمر به دارو به تدریج کاهش پیدا می‌کند تا این که در نسبت ۶/۱ پلیمر به دارو محو می‌شود. با مقایسه‌ی طیف DSC میکروپارتیکل‌های با نسبت ۲/۱ پلیمر به دارو با مخلوط فیزیکی آن مشاهده می‌شود که ذوب دارو در میکروپارتیکل‌ها نسبت به مخلوط فیزیکی دارای شدت بسیار کمی است که نشان



شکل شماره ۵: ترموگرام های DSC (الف) میکروپارتیکل های با نسبت های مختلف پلیمر به دارو، (ب) میکروپارتیکل های با نسبت ۲/۱ پلیمر به دارو و مخلوط فیزیکی مریبوط.



شکل ۶- دیفراکتوگرام X-ray ناپروکسن اولیه، پلیمر، میکروپارتیکل با نسبت پلیمر به دارو (۲/۱ و ۶/۱) و مخلوط فیزیکی نسبت ۲/۱.

پر کردن میکروپارتیکل ها در کپسول با یکنواختی وزن مناسب بعلت بهبود قابلیت ریزش میکروپارتیکل ها امکان پذیر میباشد. کارائی انکپسولاژیون با کاهش نسبت پلیمر به دارو و افزایش گرادیانت دما بین حلال و ناحلال و در صد اسید در محیط ناحلال افزایش نشان میدهد. در نهایت میتوان گفت که کارائی انکپسولاژیون (در حدود ۸۰٪) بدست آمده نشان میدهد که روش حاضر روش مناسبی جهت تهیه میکروپارتیکل های روده ای از داروهای کم محلول مانند ناپروکسن میباشد.

#### ۴- نتیجه گیری

میکروپارتیکل های روده ای ناپروکسن با استفاده از پلیمر HPMCP به روش کریستالیزاسیون کروی با افودن محلول دارو و پلیمر به محیط ناحلال با موفقیت انجام گرفت که در آن کریستالیزاسیون و آگلومراسیون مواد به طور همزمان در یک مرحله انجام گرفت. نتایج مربوط به اتحلال نشان میدهد که حضور نسبت کم پلیمر به دارو (۲/۱) برای ممانعت از رهش دارو در محیط اسیدی کافی بوده و همچنین رهش دارو از میکروپارتیکلهای مذکور در محیط بازی دارای سرعت مناسبی (تحلال ۱۰۰٪ دارو در عرض ۴۵ دقیقه) می باشد.

#### 5- References:

1. Zaniboni HC, fell JT, Collett JH. Production and Characterisation of enteric beads. Pharm, 1995, 125: 151-155.
2. Kawashima Y, Okumara M, Takenaka H. Spherical crystallization: direct spherical agglomeration salisyllic acid crystals during crystallization. Science, 1982, 216: 1127-1128.
- 3)Nokhodchi A, Maghsoodi M, Hassan-Zadeh D, Barzegar-Jalali M. Preparation of agglomerated crystals for improving flowability and compactibility of poorly flowable and compactible drugs and excipients, Powder Technol, 2007, 175 : 73-81.
4. Nokhodchi A, Maghsoodi M, Hassan-Zadeh D. An Improvement of PhysicomechanicalProperties of Carbamazepine Crystals. IJPR, 2007, 6 (2): 83-93.
5. Cui FD, Kawashima Y, Okumara M, Takenaka H, Niwa T, Hino T. Preparation of controlled release acrylic polymer microspheres with sodium alginate in a polymeric spherical crystallization system. Chem, Pharm Bull, 1996, 44: 837-842.
6. Niwa T, Takenaka H, Hino T, Itoh A, Kawashima Y, Kiuchi K. Preparation of agglomerated crystals for direct tableting and microencapsulation by spherical crystallization

- technique with a continuose system, *Pharm Res*, 1994, 11: 78-484.
7. Kawashima Y, Niwa T, Kiuchi K, Takenaka H, Hino T, Itoh A. Preparation of multiple unit hollow microspheres (microballoons) with acrylic resin containing tranilast and their drug release characteristics (in vitro) and floating behavior (in vivo). *L Controlled release*, 1991, 16: 279-290.
  8. Niwa T, Takenaka H, Hino T, Kunou N, Kawashima Y. Preparation of biodegradable nanospheres of water soluble and insoluble drug with DL lactide/glicolide copolymer by a novel spontaneous emulsification solvent diffusion method and the drug release behavior. *J Controlled release*, 1993, 25: 89-98.
  9. Kawashima Y. Spherical crystallization as a novel particle design technique for oral drug delivery system. *Chin Pharm J*, 1989, 41: 163-172.
  10. Maghsoudi M, Taghizadeh O, Martin G, Nokhodchi A. Particle design of naproxen-disintegrant agglomerates for direct compression by a crystallo-co-agglomeration technique. *Int J Pharm.*, 2008, 351: 45–54.
  11. Nokhodchi A, Maghsoudi M, Preparation of Spherical Crystal Agglomerates of Naproxen Containing Disintegrant for Direct Tablet Making by Spherical Crystallization Technique. *AAPS PharmSciTech*, 2008 Vol. 9, No. 1.
  12. Moore JW, Flanner HH, Mathematical comparison of dissolution profiles. *Pharm. Tech.* 1996, 20: 64-74.
  13. Kawashima Y, Cui F, Takenaka H, Niwa T, Hino T, Kiuchi K. Improved static compression behaviors and tabletabilities of spherically agglomerated crystals produced by the spherical crystallization technique with a two-solvent system. *Pharm Res*, 1995, 12(7): 1040-1044.
  14. Rè MI, Biscans B. Preparation of microspheres of ketoprofen with acrylic polymers by a quasi-emulsion solvent diffusion method. *Powder Technology*, 1999, 101: 120-133.
  15. Kachrimanis K, Ktistis G, Malamataris S. Crystallization condition and physicomechanical properties of ibuprofen-Eudragit S<sub>100</sub> spherical crystal agglomerates prepared by the solvent-change technique. *Int J Pharm*, 1998, 173: 61-74.
  16. Ribordiere A, Tchoreoff P, Couarrazé G, Puiseux F. Modification of ketoprofen bead structure produced by the spherical crystallization technique with a two-solvent system. *Int J Pharm.* 1996, 144: 195-207.
  17. Bodmeier R, Chen H. Preparation and characterization of microspheres containing the anti-inflammatory agents indometacin, ibuprofen and ketoprofen. *J Contr Release*. 1989, 10: 167-175.
  18. Bodmeier R, Mc Ginity JW. Solvent selection in the preparation of poly(DL-lactate) microspheres prepared by the solvent evaporation method. *Int J Pharm*, 1988, 43: 179-186.
  19. Giovanni FP, Simona M, Piera DM, Sante M. Polymers with pH-dependent solubility: Possibility of use in the formulation of gastroresistant and controlled-release matrix tablets. *Drug Dev Int Pharm*, 2000, 26(8): 837-854.
  20. Chaw CS, Yang YY, Lim IJ, Phan TT. Water-soluble betamethasone-loaded poly (lactide-co-glycolide) hollow microparticles as a sustained release dosage form. *J Microencapsulation*, 2003, 20(3): 349-359.
  21. Yang JF, Qiu LY, jin Y, Zhang JX. Thymosin-loaded enteric microspheres for oral administration: Preparation and in vitro release studies, *Int J Pharm*, 2005, 301: 41-47.
  22. Dubernet C. Thermoanalysis of microspheres. *Thermochim Acta* 1995, 248: 259-304.